

## ИЗМЕРЕНИЕ ДИФФЕРЕНЦИАЛЬНЫХ ПОПЕРЕЧНЫХ СЕЧЕНИЙ ОБРАЗОВАНИЯ $\pi^+$ -МЕЗОНОВ НА ВОДОРОДЕ

В. М. КУЗНЕЦОВ, Е. В. РЕПЕНКО, О. И. СТУКОВ

(Представлена научно-техническим семинаром лаборатории  
высоких энергий НИИ ЯФ)

Измерены дифференциальные поперечные сечения одиночного фотообразования  $\pi^+$ -мезонов на водороде с использованием полиэтиленовой мишени. Измерения проводились на тормозном пучке от танталовой мишени толщиной 0,4 мм (0,094 рад. дл). Электроны с энергией  $630 \pm 20$  МэВ сбрасывались на мишень в течение 20—40 мс с частотой 1 Гц. Тормозной пучок формировался при помощи двух свинцовых коллиматоров длиной 25 см, очищался магнитным полем, падал на мишень и мониторировался квантометром. Диаметр  $\gamma$ -пучка на цилиндрической мишени составлял 25 мм.

Телескоп заряженных частиц, окруженный свинцовой защитой толщиной 10 см, располагался под углом  $90^\circ$  к направлению фотонного пучка.

Измерение энергии тормозного излучения проводилось квантометром Вильсона, калиброванным на Харьковском линейном ускорителе 2 ГэВ. Постоянная квантометра для тормозных фотонов с максимальной энергией 630 МэВ составляла  $(3,86 \pm 0,077) \cdot 10^{-18}$  Кул/МэВ. Измерения проводились попеременно с полиэтиленовой и углеродной мишенями. Выход мезонов от водорода определялся обычным разностным методом [1] из разницы выходов  $N_{\text{CH}_2}$  от  $N_c$  полиэтиленовой мишеней по формуле  $N_{\text{H}_2} = N_{\text{CH}_2} - \xi N_c$ , где коэффициент  $\xi = 0,58$  — относительный вес содержания ядер углерода в полиэтиленовой и углеродной мишенях.

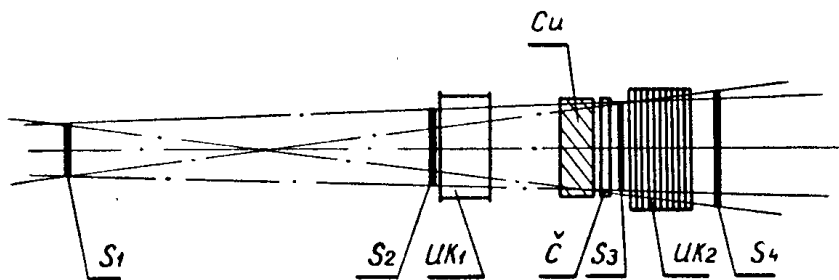


Рис. 1. Схема регистрирующей установки:  $S_1, S_2, S_3, S_4$  — сцинтилляционные счетчики;  $\check{C}$  — черенковский счетчик; ИК<sub>1</sub>, ИК<sub>2</sub> — искровые камеры; Cu — медный поглотитель.

Схема регистрирующей установки показана на рис. 1. Фотоны с конечной энергией  $E_{\text{max}} = 630$  МэВ проходили через мишень  $\varnothing 50 \times 80$  мм и мониторировались квантометром Вильсона. Регистрация  $\pi^+$ -мезонов

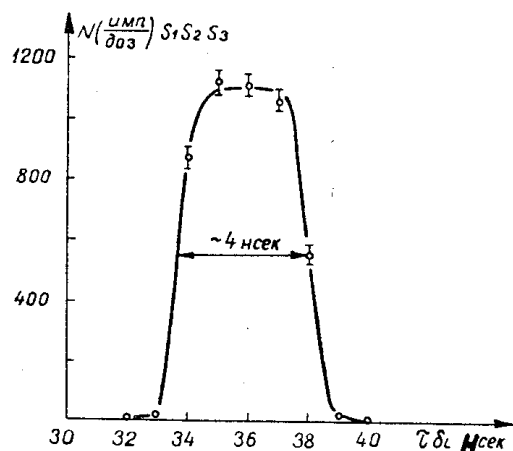


Рис. 2. Кривая задержанных тройных совпадений.

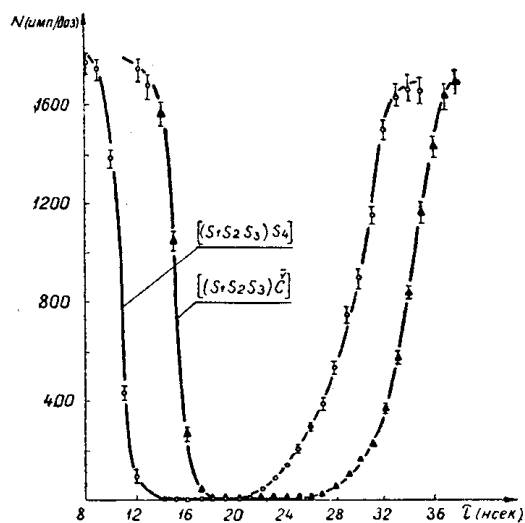


Рис. 3. Кривые задержанных антисовпадений, полученные на электронном пучке.

производилась с помощью телескопа заряженных частиц и двух искровых камер ИК<sub>1</sub> (с широким зазором 100 мм, для определения угла вылета  $\pi^+$ -мезона) и ИК<sub>2</sub> (многоззорная для определения энергии  $\pi^+$ -мезона по остановкам в медных пластинках толщиной 2 мм). Телесный угол  $\Delta\Omega$  определялся размерами рабочей области мишени и размерами счетчика S<sub>1</sub>. Поток заряженных частиц выделялся быстрыми тройными совпадениями (S<sub>1</sub>, S<sub>2</sub>, S<sub>3</sub>). Для отбора электронного фона были предусмотрены счетчик S<sub>4</sub> и пороговый черенковский счетчик  $\check{C}$  [2]. Протонный фон от водорода этого положения считался пренебрежимым.

Кривая задержанных тройных совпадений (S<sub>1</sub>S<sub>2</sub>S<sub>3</sub>) показана на рис. 2. Напряжения на счетчиках при пороге формирователей 0,2 вольта приведены в табл. 1.

Таблица 1

Счетчики	S <sub>1</sub>	S <sub>2</sub>	S <sub>3</sub>	S <sub>4</sub>	$\check{C}$
U (вольт)	2100	2080	2060	1700	2800

Сигналы со схемы запрета (рис. 3), несущие информацию о частице, остановившейся в ИК<sub>2</sub>, разветвлялись: на пересчетный прибор ПП-12, на запуск искровых камер ИК<sub>1</sub> и ИК<sub>2</sub> и на запуск регистрирующей фотокамеры РФК.

При установке телескопа особое внимание уделялось положению в пространстве искровой камеры ИК<sub>1</sub>, по трекам в которой определялись углы вылета частиц из мишени. ИК<sub>1</sub> была установлена к направлению вылета  $\pi^+$ -мезонов под углом  $90^\circ$  в л. к. с. с погрешностью  $\pm 20'$ . Для привязки следа в пространстве устанавливались световые реперные метки. Расчет дифференциальных поперечных сечений производился по формуле [3]:

$$\frac{d\sigma}{d\Omega}(E_\gamma, \theta_\pi) = \frac{N_{H_2}^\circ(E_\gamma, \theta_\pi)}{\Delta\Omega \frac{2N_A}{A_{CH_2}} \rho_{CH_2} \bar{l} \Delta N_{E_\gamma}(E_\gamma, \Delta E_\gamma)}, \quad (1)$$

где  $N_{H_2}^\circ$  — действительная скорость счета  $\pi^+$ -мезонов от водорода при  $\theta_\pi \pm \Delta\theta_\pi$  и средней энергии  $E_\gamma \pm \Delta E_\gamma$ .

$\Delta\Omega$  — телесный угол;

$N_A$  — число Авогадро;

$A_{CH_2}$  — атомный вес полиэтилена;

$\rho_{CH_2}$  — плотность полиэтилена;

$\bar{l}$  — усредненная длина мишени;

$\Delta N_{E_\gamma}(E_\gamma, \Delta E_\gamma)$  — число фотонов с энергией  $E_\gamma$  в интервале  $\Delta E_\gamma$ .

Действительная скорость счета связана с измеряемой скоростью счета следующим соотношением:

$$N^\circ(R_i) = \frac{N(R_i)}{f_1 P_a(x_{i-1}, R_i) P_s(x_{i-1}, R_i) P_d(R_i)} - \frac{f_2 \sum_{k=i+1}^m N(R_k) [P_a(x_{i-1}, R_k) - P_a(x_i, R_k)] P_s(x_{i-1}, R_k)}{f_1 P_a(x_{i-1}, R_i) P_s(x_{i-1}, R_i) P_d(R_i)} P_d(R_k) P_c(R_k - x_{i-1}), \quad (2)$$

где  $N(R_i)$  — измеряемая скорость счета для  $i$ -пластины искровой камеры ИК<sub>2</sub>;

$f_1$  — эффективность телескопа счетчиков;

$f_2$  — коэффициент, который учитывает, во сколько раз ядерное поглощение в пластмассовом сцинтилляторе меньше, чем в эквивалентном количестве меди;

$R_i(R_k)$  — средний пробег пиона в  $i$ -й ( $k$ -й) пластине ( $\Gamma/\text{см}^2$ );

$x_i$  — пробег пиона в  $i$ -й пластине ИК<sub>2</sub> ( $\Gamma/\text{см}^2$ );

$P_a(x_{i-1}, R_i)$  — поправка на ядерное поглощение для пиона со средним пробегом  $R_i$  и поглотителя —  $x_{i-1}$ ;

$P_d(R_i)$  — поправка на распад  $\pi^+$ -мезона на лету, с пробегом  $R_i$ ;

$P_s(x_{i-1}, R_i)$  — поправка на многократное кулоновское рассеяние для пиона с пробегом  $R_i$  и рассеивателя —  $x_{i-1}$ ;

$P_c(R_k - x_{i-1})$  — поправка на вероятность того, что  $\pi^+$ -мезоны с пробегом  $(R_k - x_{i-1})$  могут быть зарегистрированы черенковским пороговым счетчиком.

Первый член в (2) — скорость счета с учетом эффективности телескопа заряженных частиц и поправок, учитывающих взаимодействие  $\pi^+$ -мезона со средой. Второй член учитывает добавочную скорость счета за счет мезонов с пробегом  $R' \gg R_i$ , но имеющих вероятность остановиться в  $i$ -й пластине камеры ИК<sub>2</sub> за счет ядерного поглощения, то есть имитировать  $\pi^+$ -мезоны с пробегом  $R_i$ .

Рассмотрим поправки к измеряемой скорости счета: 1) поправка на ядерное поглощение рассчитывалась по формуле [3]:

$$P_a(x, R) = \exp \left[ - \frac{\rho N_A}{A} \int_0^x \sigma(R - \xi) d\xi \right], \quad (3)$$

где  $\rho = 8,9$  г/см<sup>3</sup> — плотность меди;  
 $N_A = 6,02 \cdot 10^{23}$  — число Авогадро;  
 $A = 63,54$  — атомный вес меди;  
 $\sigma(R)$  — сечения поглощения  $\pi^+$ -мезонов в меди от толщины  $R$  (см), взятые из работы [4];  
 $x$  (см) — конечная толщина поглотителя;  
 $\xi$  — переменная.

2) Поправка на распад  $\pi^+$ -мезона на лету рассчитывалась по известной формуле радиоактивного распада:

$$P_d = e^{-\frac{0,693}{T^{1/2}} t}, \quad (4)$$

где  $T^{1/2}$  — период полураспада  $\pi^+$ -мезона  $(2,55 \pm 0,03) \cdot 10^{-8}$  с,  
 $t$  — время пролета  $\pi^+$ -мезона.

С учетом конкретных условий прохождения  $\pi^+$ -мезона через мишень, счетчики и поглотитель формула (4) примет вид

$$P_d = \exp \left[ - \frac{0,693}{T^{1/2}} \left( \frac{l_1}{\beta_1 c} + \frac{l_2}{\beta_2 c} + \dots + \frac{l_n}{\beta_n c} \right) \right], \quad (5)$$

где  $l_r$  — расстояние от мишени до первого счетчика, от первого счетчика до второго и т. д. от  $n-1$  до  $n$ -го поглотителя,

$\beta_r$  — скорость  $\pi^+$ -мезона в единицах скорости света для  $r$ -го поглотителя.

3) Поправка на кулоновское рассеяние, то есть вероятность прохождения пионов в телескопе счетчиков есть функция [5]:

$$P_s = f(r'_0, \rho'_0). \quad (6)$$

Здесь  $\rho'_0 = \rho_0/R$ ;

$\rho_0$  — радиус пучка  $\pi^+$ -мезонов, падающего на  $S_3$ ;

$R$  — радиус счетчика  $S_3$ .

Величина  $r'_0$  определяется из следующего выражения:

$$r'_0 = \frac{r_0}{R} = \frac{\theta_s \left( l^2 + l_x + \frac{x^2}{3} \right)^{1/2}}{R}, \quad (7)$$

где  $r_0$  — среднеквадратичная длина рассеяния в плоскости перпендикулярной к первоначальному направлению пучка —  $\pi^+$ -мезонов;

$$\theta_s = \frac{E_s}{p \beta c} \sqrt{\frac{x}{x_0}}; \quad (8)$$

$E_s = 21$  Мэв (см. работу [6]);

$\beta$  и  $p$  — скорость и импульс  $\pi^+$ -мезона;

$x$  — толщина рассеивателя;

$x_0$  — радиационная длина рассеивателя;

$l$  — длина между рассеивателем и регистрирующим счетчиком.

Расчет величины  $P_s$  имеется в работах Стернхаймера [6], Грушина и Лейкина [7] рассмотрели расчет поправки  $P_s$  большой толщины  $x$ . Однако наш случай отличался от рассматриваемых в [6, 7] тем, что рассеиватели были расположены на разных расстояниях и имели боль-

шие толщины  $x$ . В связи с этим поправка на кулоновское рассеяние вычислялась так:

$$P_s = \prod_{\lambda=1}^n P_s^\lambda, \quad (9)$$

где  $P_s^\lambda$  — поправка на многократное рассеяние для рассеивателя с малой толщиной.

Все рассеиватели разбивались на  $n$  достаточно тонких рассеивателей, для которых и подсчитывалось значение  $P_s^\lambda$ . Такой метод неудобен для обычных вычислений, но зато прост при использовании электронно-вычислительной машины.

1) Поправка на регистрацию  $\pi^+$ -мезона черенковским счетчиком

$$P_c = 1 - \varepsilon_c, \quad (10)$$

где  $\varepsilon_c$  — эффективность порогового черенковского счетчика к  $\pi^+$ -мезонам.

$P_c$  принималась равной единице, так как  $\varepsilon_c = 0$  для 80 МэВ [2].

2) Поправка на добавочный счет от  $\mu$ -мезонов, возникших в результате распада  $\pi^+$ -мезонов, автоматически учитывалась при отборе событий в искровых камерах.

Результаты измеренных дифференциальных сечений в сравнении с данными Бонна [3] приводятся на рис. 4. Большие погрешности в сечениях связаны с применением методики обычного разностного метода.

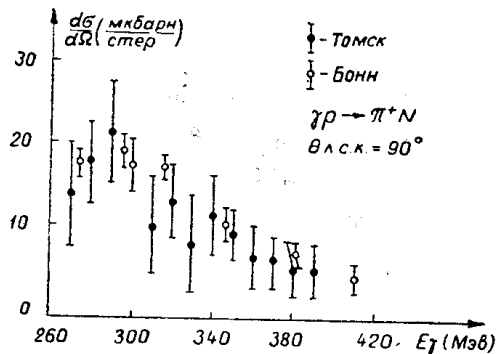


Рис. 4. Результаты измерений дифференциальных сечений фотообразования  $\pi^+$ -мезонов на водороде.

#### ЛИТЕРАТУРА

1. R. M. Littauer, R. L. Walker. *Physical Review*, 86, 838 (1952).
2. В. М. Кузнецов, А. Д. Ониско, О. И. Стуков. *ПТЭ*, № 3, 65 (1969).
3. D. Freytag, W. J. Schuille, R. J. Wedemeyer. *Zeitschrift für Physik*, 165, 1 (1965).
4. M. Bloch, M. Sands. *Physical Review*, 113, 305 (1959).
5. Д. Ритсон. *Экспериментальные методы в физике высоких энергий*. «Наука», 1964.
6. R. M. Sternheimer. *Review Scientific Instruments*, 25, 1070 (1954).
7. В. Ф. Грушин, Е. М. Лейкин. *ПТЭ*, № 1, 52 (1965).